

九州大学 工学部 正員 山崎 徳也

学生員 後藤恵之輔

学生員○川島 基義

1.序 多数の孔が羅列された板および梁の三次元弹性問題は工学の諸分野で多見せられ、その理論的研究は重要であるにかかわらず著者らの知る限りでは余り見受けられないようである。本論はキャストレーテッド・ビームを初めとする有孔梁に関する著者らの研究の一環として、一列に並ぶ三円孔を含む無限板を取上げ、一様な引張力、せん断力および曲げモーメントが作用する場合についてSchwarzのAlternating Method<sup>1)</sup>により応力式を誘導し、算例として二方向引張のもとに孔中心線上の応力を求めたものである。なお、ここでは Alternating Method の第二近似を用いるゆえ、上記算例についてその誤差の検討も併せて行うこととする。

## 2.応力函数および応力式の誘導

(i) 基本式：図-1に示すとく、三円孔の中心をそれぞれ  $O_1, O, O_2$  とし、これらを原点として直角座標  $(x_1, y_1), (x, y), (x_2, y_2)$  および極座標  $(r_1, \theta_1), (r, \theta), (r_2, \theta_2)$  を定義すれば、両座標間の関係はそれぞれ次式で表わされる。 $Z_1 = x_1 + iy_1 = r_1 e^{i\theta_1}$ ,  $Z = x + iy = r e^{i\theta}$ ,  $Z_2 = x_2 + iy_2 = r_2 e^{i\theta_2}$

また、各孔半径、孔間距離および荷重状態は図-1に示すとくであり、三円孔は一列に並ぶものとする。このとき応力函数として次式を仮定するが、本法では孔の位置関係より  $\bar{z}$ -平面上および  $\bar{z}'$ -平面上の応力函数を決定すれば十分である。ここで  $\bar{z}$ -平面上の応力函数とは板全体を  $\bar{z}$ -平面とみなした場合の応力函数で、 $\bar{z}'$ -平面上のそれについても同様である。

$$\text{z平面上の応力函数: } \bar{\sigma}_z(z) = \bar{\sigma}_0(z) + \bar{\sigma}_1(z) + \bar{\sigma}_2(z), \quad \text{z平面上の応力函数: } \bar{\sigma}_z(z) = \bar{\sigma}_0(z) + \bar{\sigma}_1(z) + \bar{\sigma}_2(z) \quad (2)$$

ここに第一項は  $\bar{z}$ -平面上に  $O$  孔が単独に存在する場合の応力函数で、第二項および第三項はそれぞれ  $O_1$  孔および  $O_2$  孔が追加されたために  $\bar{z}$ -平面上の応力函数に附加されるものである。

$$\text{z平面上の応力函数: } \bar{\sigma}_{z'}(z') = \bar{\sigma}_0(z') + \bar{\sigma}_1(z'), \quad \text{z平面上の応力函数: } \bar{\sigma}_{z'}(z') = \bar{\sigma}_0(z') + \bar{\sigma}_1(z') \quad (3)$$

ここに第一項および第二項はそれぞれ  $\bar{z}'$ -平面上に  $O_1$  孔が単独に存在する場合の応力函数および  $O$  孔による附加応力函数である。なお、この場合  $O_2$  孔は  $O_1$  孔より十分遠く離れているものとし、これによる附加応力函数は無視できるものとする。

応力函数が式(2), (3)で与えられるとき、これを Alternating Method の第二近似といい、式(2), (3)の第一項のみ採るときを第一近似という。

式(2), (3)で与えられる応力函数とこれによってえられる応力との関係は、Kolosov-Muskhelishvili の公式より次式のごとくである。

$$\text{z平面上において } \sigma_x + i\sigma_y = 4R_e[\bar{\sigma}_0(z)], \quad \sigma_y - i\sigma_x + 2i\tau_{xy} = 2[\bar{z}\bar{\sigma}_1(z) + \bar{\sigma}_2(z)] \quad (4a)$$

$$\sigma_r + i\sigma_\theta = 4R_e[\bar{\sigma}_0(z)], \quad \sigma_\theta - i\sigma_r + 2i\tau_{r\theta} = 2[\bar{z}\bar{\sigma}_1(z) + \bar{\sigma}_2(z)]e^{2i\theta} \quad (4b)$$

$$\text{z平面上において } \sigma_x + i\sigma_y = 4R_e[\bar{\sigma}_0(z')], \quad \sigma_y - i\sigma_x + 2i\tau_{xy} = 2[\bar{z}'\bar{\sigma}_1(z') + \bar{\sigma}_2(z')] \quad (5a)$$

$$\sigma_r + i\sigma_\theta = 4R_e[\bar{\sigma}_0(z')], \quad \sigma_\theta - i\sigma_r + 2i\tau_{r\theta} = 2[\bar{z}'\bar{\sigma}_1(z') + \bar{\sigma}_2(z')]e^{2i\theta} \quad (5b)$$

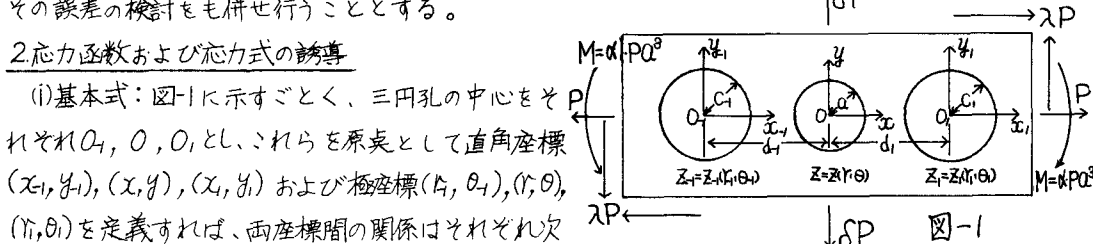


図-1

$$(1) \quad Z_1 = x_1 + iy_1 = r_1 e^{i\theta_1}, \quad Z = x + iy = r e^{i\theta}, \quad Z_2 = x_2 + iy_2 = r_2 e^{i\theta_2}$$

$$(2) \quad \bar{\sigma}_z(z) = \bar{\sigma}_0(z) + \bar{\sigma}_1(z) + \bar{\sigma}_2(z), \quad \bar{\sigma}_z(z) = \bar{\sigma}_0(z) + \bar{\sigma}_1(z) + \bar{\sigma}_2(z)$$

$$(3) \quad \bar{\sigma}_{z'}(z') = \bar{\sigma}_0(z') + \bar{\sigma}_1(z'), \quad \bar{\sigma}_{z'}(z') = \bar{\sigma}_0(z') + \bar{\sigma}_1(z')$$

$$(4a) \quad \sigma_x + i\sigma_y = 4R_e[\bar{\sigma}_0(z)], \quad \sigma_y - i\sigma_x + 2i\tau_{xy} = 2[\bar{z}\bar{\sigma}_1(z) + \bar{\sigma}_2(z)]$$

$$(4b) \quad \sigma_r + i\sigma_\theta = 4R_e[\bar{\sigma}_0(z)], \quad \sigma_\theta - i\sigma_r + 2i\tau_{r\theta} = 2[\bar{z}\bar{\sigma}_1(z) + \bar{\sigma}_2(z)]e^{2i\theta}$$

$$(5a) \quad \sigma_x + i\sigma_y = 4R_e[\bar{\sigma}_0(z')], \quad \sigma_y - i\sigma_x + 2i\tau_{xy} = 2[\bar{z}'\bar{\sigma}_1(z') + \bar{\sigma}_2(z')]$$

$$(5b) \quad \sigma_r + i\sigma_\theta = 4R_e[\bar{\sigma}_0(z')], \quad \sigma_\theta - i\sigma_r + 2i\tau_{r\theta} = 2[\bar{z}'\bar{\sigma}_1(z') + \bar{\sigma}_2(z')]e^{2i\theta}$$

ここに  $R_e$  およびプライム符号はそれぞれ [ ] 内の函数の実数部分および ( ) 内の变数による微分を意味する。

一般に任意の应力函数  $\varphi(z), \psi(z)$  による应力場に在る境界上の合应力は次式で与えられる。

$$f(z) = \varphi(z) + z\overline{\varphi'(z)} + \overline{\psi'(z)} \quad (6)$$

函数  $f$  によって定義される境界が应力自由の孔であれば、次式により示される函数がこの合应力  $f$  を打ち消すべく境界に沿って同時に存在しなければならない。

$$\text{すなはち } f(z) = -f(z) = -\varphi(z) - z\overline{\varphi'(z)} - \overline{\psi'(z)} \quad (7)$$

式(7)の境界条件に対応する应力函数は次式で与えられる。

$$\varphi'(z) = -\frac{1}{2\pi i} \int \frac{f(t)}{t-z} dt, \quad \psi'(z) = -\frac{1}{2\pi i} \int \frac{f(t)}{t-z} dt + \frac{1}{2\pi i} \int \frac{\overline{f(t)}}{t} dt - \frac{r^2}{z} \varphi'(z) \quad (8)$$

ここで  $t = R e^{i\theta}$  ( $R$ : 孔半径)

したがって最終应力状態に対応する应力函数は次式で与えられることになる。

$$\varphi(z) = \varphi^0(z) + \varphi^1(z), \quad \psi(z) = \psi^0(z) + \psi^1(z) \quad (9)$$

(ii)  $\varphi_0(z), \psi_0(z)$  の算定:  $\varphi_0(z), \psi_0(z)$  は図-1において  $Z -$  平面上に 0 孔が単独に存在する場合の应力函数であり、これらの算定の際 0 孔および 0 孔を考慮しないのは勿論である。 $\varphi_0(z), \psi_0(z)$  を式(9)より次式のごとく表示する。 $\varphi_0(z) = \varphi_0^0(z) + \varphi_0^1(z), \psi_0(z) = \psi_0^0(z) + \psi_0^1(z)$

式(10)において右辺の第一、第二項はそれぞれ式(9)の第一、第二項に相当するもので、前者は  $Z -$  平面上に 0 孔が無い場合の図-1 に示すとき应力場における应力函数、後者は 0 孔を設けるために新たに付加されるものである。したがって  $\varphi_0(z)$  および  $\psi_0(z)$  は  $\varphi_0^0(z)$ 、 $\varphi_0^1(z)$  および  $\psi_0^0(z)$ 、 $\psi_0^1(z)$  を計算することにより式(10)より直ちに決定される。

図-1 の  $Z -$  平面上に 0 孔が無い場合の应力は次式で表わされる。

$$\sigma_x^* = p + \frac{M}{I} y = p(1 + \frac{d\varphi^0}{I} y), \quad \sigma_y^* = \delta p, \quad T_{xy}^* = 2p \quad (11)$$

また、应力  $\sigma_x^*$ 、 $\sigma_y^*$  および  $T_{xy}^*$  と应力函数  $\varphi_0^0(z), \varphi_0^1(z)$  との関係は式(4a)より次式で与えられる。

$$\sigma_x^* + \sigma_y^* = 4p[\varphi_0^0(z)], \quad \sigma_y^* - \sigma_x^* + 2iT_{xy}^* = 2[\bar{z}\varphi_0^0(z) + \varphi_0^1(z)] \quad (12)$$

$\varphi_0^0(z) = \sum_{n=1}^{\infty} A_n z^n$ 、 $\varphi_0^1(z) = \sum_{n=1}^{\infty} B_n z^n$  と表わされるゆえ、式(11)を式(12)に代入して未定係数  $A_n, B_n$  を決定すれば、 $\varphi_0^0(z)$  および  $\varphi_0^1(z)$  は次式のごとくなる。

$$\varphi_0^0(z) = \frac{1}{4}(1+\delta)pz - i\frac{M}{8I}z^2, \quad \varphi_0^1(z) = \left(\frac{1}{2}(\delta-1) + i\lambda\right)pz + i\frac{M}{8I}z^2 \quad (13)$$

次にこの場合の境界条件は式(7)より次式のごとく表わされる。

$$f_i(z) = -\varphi_0^0(z) - z\overline{\varphi_0^0(z)} - \overline{\varphi_0^1(z)} \quad (14)$$

式(14)に対する应力函数  $\varphi_0^1(z), \psi_0^1(z)$  は式(8)より次式で与えられる。

$$\varphi_0^1(z) = -\frac{1}{2\pi i} \int \frac{f_i(t)}{t-z} dt, \quad \psi_0^1(z) = -\frac{1}{2\pi i} \int \frac{f_i(t)}{t-z} dt + \frac{1}{2\pi i} \int \frac{\overline{f_i(t)}}{t} dt - \frac{r^2}{z} \varphi_0^1(z) \quad (15)$$

ここで  $t = ae^{i\theta}$

式(15)に式(13)、(14)を適用することにより  $\varphi_0^1(z)$  および  $\psi_0^1(z)$  が次式のごとく求められる。

$$\varphi_0^1(z) = \frac{a_1}{z} + \frac{a_2}{z^2}, \quad \psi_0^1(z) = b_0 + \frac{b_1}{z} + \frac{b_2}{z^2} + \frac{b_3}{z^3} + \frac{b_4}{z^4} \quad (16)$$

ここで  $a_1, a_2, b_0, b_1, b_2, b_3, b_4$  は式(18)参照。

したがって所要の应力函数  $\varphi_0(z)$  および  $\psi_0(z)$  が式(13)、(16)を用いて式(10)より次のごとく与えられる。

$$\varphi_0(z) = A_2 z^2 + A_1 z + \frac{a_1}{z} + \frac{a_2}{z^2}, \quad \psi_0(z) = B_2 z^2 + B_1 z + b_0 + \frac{b_1}{z} + \frac{b_2}{z^2} + \frac{b_3}{z^3} + \frac{b_4}{z^4} \quad (17)$$

ここで、係数  $A_1, A_2, a_1, a_2, B_1, B_2, b_0, \dots, b_4$  は次式で与えられるものである。

$$\left. \begin{aligned} A_1 &= PA'_1, A_2 = i\frac{P}{\alpha}A'_2, a_1 = Pa^2(a'_1 + ia'_1), a_2 = Pa^2ia'_2, B_1 = P(B'_1 + iB'_2), B_2 = \frac{P}{\alpha}iB'_2 \\ b_0 &= Pab'_0, b_1 = Pa^2b'_1, b_2 = Pa^2ib'_2, b_3 = Pa^2(b'_3 + ib'_3)r^2, b_4 = Pa^3iL'_4r^2 \\ \text{ただし } A'_1 &= \frac{1}{4}(\delta + 1), A'_2 = -\frac{1}{8}\sqrt{\frac{I}{\alpha^4}}, a'_1 = -\frac{1}{2}(\delta - 1), a'_2 = \lambda, a'_3 = \frac{1}{8}\sqrt{\frac{I}{\alpha^4}} \\ B'_1 &= \frac{1}{2}(\delta - 1), B'_2 = \lambda, B'_3 = \frac{1}{8}\sqrt{\frac{I}{\alpha^4}}, b'_1 = \frac{1}{4}\sqrt{\frac{I}{\alpha^4}}, b'_2 = -\frac{1}{2}(\delta + 1) \\ b'_3 &= -\frac{1}{2}(\delta + 1), b'_4 = -\frac{1}{2}(\delta - 1), b'_5 = \lambda, b'_6 = \frac{1}{4}\sqrt{\frac{I}{\alpha^4}} \end{aligned} \right\} \quad (18)$$

かくして応力函数が決定されれば、この場合すなはち  $Z$ -平面上に  $O$  孔のみが存在するときの応力は式(17)を式(4b)に代入することにより求められ、特に  $\theta = 0$  上では次のとく求められることとなる。

$$\left. \begin{aligned} (\sigma_y)/P &= (2A'_1 - B'_1) + (-4a'_1 + b'_1 + 3b'_3)\left(\frac{r}{R}\right)^2, (\sigma_{\theta})/P = (2A'_1 + B'_1) - (b'_1 + 3b'_3)\left(\frac{r}{R}\right)^2 \\ (\tau_{\theta\theta})/P &= B'_1 + 2(A'_2 + B'_2)\left(\frac{r}{R}\right) + (2a'_2 - 3b'_3)\left(\frac{r}{R}\right)^2 + 2(3b'_2 - b'_2 - 2b'_4)\left(\frac{r}{R}\right)^3 \end{aligned} \right\} \quad (19)$$

(iii)  $\Psi_0(Z)$ ,  $\Psi_1(Z)$  および  $\Psi_0(\bar{Z})$ ,  $\Psi_1(\bar{Z})$  の算定： $\Psi_0(Z)$ ,  $\Psi_1(Z)$  は  $Z$ -平面上の  $O$  孔に  $O$  孔が追加されたために付加される応力函数であるが、この算定には  $O$  孔のみによる応力函数  $\Psi_0(Z)$ ,  $\Psi_1(Z)$  が必要で、これらは  $\Psi_0(\bar{Z})$ ,  $\Psi_1(\bar{Z})$  を用いて次式のごとく表示される。

$$\Psi_0(Z) = \Psi_0(\bar{Z})_{z \rightarrow Z}, a \rightarrow c_i, \quad \Psi_1(Z) = \Psi_0(\bar{Z})_{z \rightarrow Z}, a \rightarrow a_i \quad (20)$$

ここで、 $\Psi_0(\bar{Z})_{z \rightarrow Z}, a \rightarrow c_i$  は  $\Psi_0(\bar{Z})$  において  $Z$  を  $\bar{Z}$  に、 $a$  を  $c_i$  にそれぞれ変換してえられる函数を示し、 $\Psi_0(\bar{Z})_{z \rightarrow Z}, a \rightarrow a_i$  も同様であり以下かかる表示法を用うることとする。

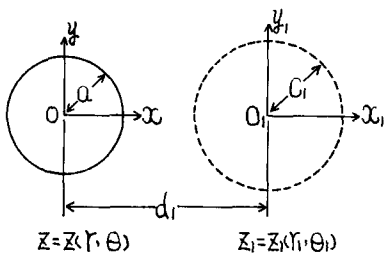


図-2

図-2において荷重状態は図-1と同一で、 $Z$ -平面上に  $O$  孔のみが存在しているものとすれば、 $Z$ -平面上における応力式は式(17)を用いて次式にて与えられる。

$$\sigma_y - \sigma_x + 2i\tau_{xy} = 2[\bar{Z}\Psi_0''(\bar{Z}) + \Psi_0'(\bar{Z})] \quad (21)$$

$Z$ -平面上における応力式は式(21)において  $Z = Z_1 + d_1$  なる座標変換を用うればよく、次式のごとくなる。

$$\begin{aligned} \sigma_y - \sigma_x + 2i\tau_{xy} &= 2[(\bar{Z}_1 + d_1)\bar{\Psi}_0''(\bar{Z}_1 + d_1) + \bar{\Psi}_0'(\bar{Z}_1 + d_1)] \\ &= 2[\bar{Z}_1\bar{\Psi}_0''(\bar{Z}_1 + d_1) + d_1\bar{\Psi}_0''(\bar{Z}_1 + d_1) + \bar{\Psi}_0'(\bar{Z}_1 + d_1)] \end{aligned} \quad (22)$$

したがって、図-2における  $Z$ -平面上の応力函数  $\varphi_0(Z)$ ,  $\psi_0(Z)$  は次式のごとくえられる。

$$\varphi_0(Z) = \bar{\Psi}_0(\bar{Z})_{z \rightarrow Z + d_1}, \quad \psi_0(Z) = d_1\bar{\Psi}_0'(\bar{Z})_{z \rightarrow Z + d_1} + \bar{\Psi}_0(\bar{Z})_{z \rightarrow Z + d_1} \quad (23)$$

次に  $O$  孔を追加すれば、境界条件式は式(7)より次式となる。

$$f(Z) = -\varphi_0(Z) - Z_1\varphi_0'(Z_1) - \bar{\Psi}_0'(Z_1) \quad (24)$$

式(24)に対応する応力函数  $\varphi'(Z)$ ,  $\psi'(Z)$  は式(8)より次式で与えられる。

$$\varphi'(Z) = -\frac{1}{2\pi i} \int \frac{f(t)}{t - Z} dt, \quad \psi'(Z) = -\frac{1}{2\pi i} \int \frac{f(t)}{t - Z} dt + \frac{1}{2\pi i} \int \frac{f(t)}{t} dt - \frac{1}{2\pi i} \varphi'(Z) \quad \because t = c_i e^{i\theta} \quad (25)$$

したがって  $Z$ -平面上に  $O$  孔,  $O$  孔とともに存在する場合の応力函数は  $\varphi'(Z) + \varphi_0(Z)$ ,  $\psi'(Z) + \psi_0(Z)$  となる。これらが式(3)の  $\Psi_0(Z)$ ,  $\Psi_1(Z)$  とそれと等しく、また  $\varphi_0(Z)$ ,  $\psi_0(Z)$  も式(20)より既知であるゆえ、結局  $\Psi_0(Z)$ ,  $\Psi_1(Z)$  は次式となる。 $\Psi_0(Z) = \varphi_0(Z) + \varphi'(Z) - \varphi_0(Z)$ ,  $\Psi_1(Z) = \psi_0(Z) + \psi'(Z) - \psi_0(Z)$   $\quad (26)$

(iv)  $\Psi_1(Z)$ ,  $\Psi_0(Z)$  および  $\Psi_0(\bar{Z})$ ,  $\Psi_1(\bar{Z})$  の算定：これらは式(26)より次式のごとく求められる。

$$\Psi_1(Z) = \bar{\Psi}_0(\bar{Z})_{z \rightarrow -Z}, r \rightarrow -r, a \rightarrow c_i, c \rightarrow a, d_1 \rightarrow -d_1, \quad \Psi_0(Z) = \bar{\Psi}_0(\bar{Z})_{z \rightarrow -Z}, r \rightarrow -r, a \rightarrow c_i, c \rightarrow a, d_1 \rightarrow d_1 \quad (27)$$

$$\Psi_1(\bar{Z}) = \bar{\Psi}_0(\bar{Z})_{z \rightarrow -Z}, r \rightarrow -r, a \rightarrow c_i, c \rightarrow a, d_1 \rightarrow -d_1, \quad \Psi_0(\bar{Z}) = \bar{\Psi}_0(\bar{Z})_{z \rightarrow -Z}, r \rightarrow -r, a \rightarrow c_i, c \rightarrow a, d_1 \rightarrow -d_1 \quad (28)$$

(V)応力式の誘導：まず $\Sigma$ -平面上の応力を算定すれば、式(3)を式(5b)に代入して式(20), (26)を考慮することにより $\theta_i = \pi$ 上で次値をうる。

$$\begin{aligned}\sigma_r/P &= 2A(r_i) - B(r_i), \quad \sigma_{\theta_i}/P = 2A(r_i) + B(r_i), \quad T_{r,\theta_i}/P = C(r_i) \\ \text{ここで } A(r) &= -a^2 a'_1 \frac{1}{d^2} + A'_1 + \cdots + (-3)r_i^2 C^2 a^2 b'_3 \frac{(d-r_i)^2}{(q^2-d^2r_i)^2}, \quad B(r) = (-2)C^2 B'_1 \frac{1}{r_i^2} + \cdots + \frac{3}{(r_i-d)} d^2 b'_3 \\ C(r) &= (-2)r_i^2 A'_2 + \cdots + 6G^4 d_1 a^2 a'_2\end{aligned}\quad (29)$$

次に $\Sigma$ -平面上の応力は $\Sigma$ -平面上におけると同様に、式(2)を式(4b)に代入して式(17), (27)および(28)を考慮することにより $\theta = 0$ 上で次値となる。

$$\left. \begin{aligned}\sigma_r/P &= \{2A(r_i) - B(r_i)\}_{r_i \rightarrow r, a \rightarrow c, c \rightarrow a, d_i \rightarrow -d_i} + \{2A(r_i) - B(r_i)\}_{r_i \rightarrow r, a \rightarrow c_1, c \rightarrow a, d_i \rightarrow d_i} - F_1(r) \\ \sigma_{\theta_i}/P &= \{2A(r_i) + B(r_i)\}_{r_i \rightarrow r, a \rightarrow c, c \rightarrow a, d_i \rightarrow -d_i} + \{2A(r_i) + B(r_i)\}_{r_i \rightarrow r, a \rightarrow c_1, c \rightarrow a, d_i \rightarrow d_i} - F_2(r) \\ T_{r,\theta_i}/P &= C(r_i)_{r_i \rightarrow r, a \rightarrow c, c \rightarrow a, d_i \rightarrow -d_i} + C(r_i)_{r_i \rightarrow r, a \rightarrow c_1, c \rightarrow a, d_i \rightarrow d_i} - F_3(r)\end{aligned}\right\} \quad (30)$$

$$\text{ここで } F_1(r) = (\sigma_r)_0/P, \quad F_2(r) = (\sigma_{\theta_i})_0/P, \quad F_3(r) = (T_{r,\theta_i})_0/P$$

かくしてすべての平面上における応力式がえられ、孔中心線上の応力はこいつを用いてもよいわけであるが、 $\Sigma$ -平面上の応力式(30)は $r \rightarrow 0$ 孔に近づくにつれて、また $\Sigma$ -平面上のそれ(29)式は $r \rightarrow 0$ 孔に近づくにつれて誤差が大きくなることは論を俟たない。そこでこれらの数値的検討を以下に述べることとする。

3.算例 図-1において $C = C_1 = 2a$ ,  $d_1 = d_4 = 7a$ として(図-3参照)二方向引張( $\delta = 1$ ,  $d = \lambda = 0$ )の場合の $\Sigma$ -平面および $\Sigma$ -平面における応力(三円孔は、0孔に関して対称であるゆえ、これらの二平面における応力は同じ)を示せば、表-1のようなる。孔縁を意味する $r/a = 5.0$ および $r_i/C_1 = 3.0$ における法線方向応力を見れば $\sigma_r/P = -0.06$ ,  $\sigma_{\theta_i}/P = -0.11$ で応力自由の

条件を満足してなく、本法では孔を遠去から従い誤差が増大することがわかる。したがって破線で囲まれた値が比較的正しい応力であると認められるが、孔間中心( $r/a = 3.0$ ,  $r_i/C_1 = 2.0$ )においては応力勾配が小なるを以て $\sigma_r/P = 0.62$ ,  $\sigma_{\theta_i}/P = 1.46$ を採用した。

4.結語 本論は多數の孔をもつ板や梁の二次元問題

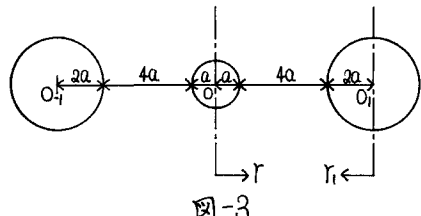


図-3

	1.0	2.0	3.0	4.0	5.0	
$\sigma_r/P$	0.00	0.58	0.62	0.47	-0.06	$\sigma_r/P$
$\sigma_{\theta_i}/P$	2.64	1.58	1.46	1.57	2.09	$\sigma_{\theta_i}/P$
	-0.11	0.59	0.65	0.51	0.00	
	2.12	1.42	1.38	1.55	2.16	$\sigma_{\theta_i}/P$
	3.0	2.5	2.0	1.5	1.0	$r/a$

表-1

に関する解法の第一歩として、三円孔を含む無限板の新解法を提示するもので、Alternating Method の第二近似を用いるため多少の誤差を生ずるが、これらは工学的には無視しうるゆえ、本法は本題以外の二次元問題に対する有力な方法と思われる。三円孔の孔間距離が比較的大なる場合を用いたが、小なる場合には本法では精度上の限界があり、Alternating Method のより高次のものを用うる方法を考慮せねばならない。これについて、Alternating Method による有孔帯板の解法とともに後日発表の予定である。なお、数値計算はすべて本学大型電子計算機 FACOM 230-60によった。

#### 参考文献

- I.S. Sokolnikoff, Mathematical Theory of Elasticity, New 2nd Edn, 1956, pp. 318-326